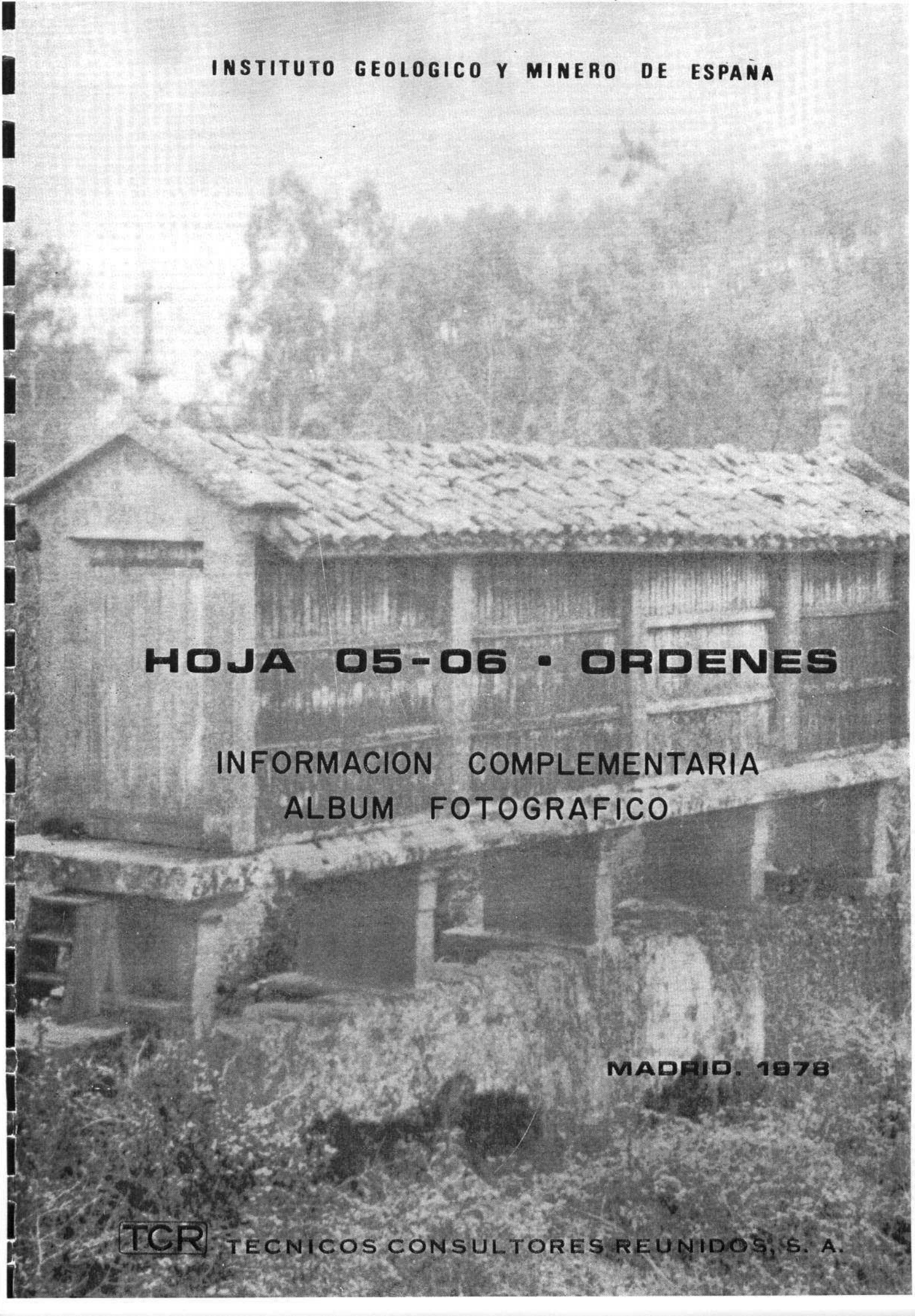
INSTITUTO GEOLOGICO Y MINERO DE ESPAÑA



HOJA 05-06 • ORDENES

INFORMACION COMPLEMENTARIA
ALBUM FOTOGRAFICO

MADRID. 1978

TCR TECNICOS CONSULTORES REUNIDOS, S. A.



Foto 05-06 TC HU 147
Desbordamiento del río Narozo y aspecto general del paisaje tipo "Ordenes"
Esquistos de Ordenes (PC-CA)



Foto TL-H4-05-06-232
Pequeña cautera en los esquistos de Ordenes (PC-CA) en que se aprecia el suelo que recubre de forma casi uniforme toda la superficie de la Hoja 05-06



Foto 05-06-TE-HU-233

la misma cautera de la foto 232

Esquistos de Ordenes (PC-CA)



Foto 05-06-TI-HU-245

Niveles de ampelitas negro azuladas, distribuidas a lo largo de toda la Hoja pero sin continuidad grande. Esquistos grafitosos("e"), dentro de la serie de Ordenes (PC-CA)



Foto 05-06-TE-HU-246

los mismos niveles ampeliticos de la foto 245

Esquistos grafitosos ("e").



Foto 05-06-TE-HU-262
Tipica vista de la zona NW de la Hoja, con la central Térmica de Meirama al fondo.
Esquistos de Ordenes (PC-CA.)



Foto 05-06-TE-HU-263
Vista de un extenso cantorral cuyos cantos corres
ponden a cuarzos blancos, probable cuaternario (Q, C)



Foto 05-06-TL-HU-266

Vista hacia el W del típico paisaje de Ordenes, con la central Térmica de Meirama a la derecha.

Al fondo se ve el relieve que produce la granodiorita de la Coruña ($\chi\gamma\eta^2$)

Esquistos de Ordenes (PC-CA)



Foto 05-06-TC-HU-28

Esquistos de Ordenes (PC-CA). Aspecto típico que presenta el terreno



Fdo 05-06-TE-HU-288

Pliegues de F_2 en esquistos de Ordenes (PC-CA)



Foto 05-06-TE-HU- 289

Pliegues de F_2 en esquistos de Ordenes (PC-CA).
Se aprecian los pliegues en las venas de cuarzo



Foto 05-06-TE-HH-29

Talud en el que se aprecia la profunda alteración que alcanzan los esquistos de Ordenes (PC-CA)



Foto 05-06-TE-HU-301

Granodiorita de la Coruña (x8?²)

Bloque de la cantera del Km 11 de la carretera de Pontobello a Malpica, en el que puede apreciarse el efecto de cizalla.



Foto 05-06-TC-HU-302

Granodiorita de la Coruña (×γ??)

En la misma cantera, otro aspecto del bloque en que se ve el efecto de cizalla.



Foto 05-06-TC-HU-303

Granodiorita de la Coruña (x 8 P²)

Diferente aspecto del mismo bloque



0506 TC-44-304

Contacto entre la granodiorita de la Coruña y los esquistos de Ordenes (FC-CA) y (xBP²)



Foto 05-06-TC-H4-305

Cantera en el Km 11 de la carretera de Portobello a Malpica en la granodiorita de la Coruña (x ?²)



Foto 05-06-TC-HL-306

Afloramientos de la granodiorita de la Coruña (x y z)
cerca del contacto con los esquistos de Ordenes (PC-CA)



Foto 05-06-TC-H4-307

Afloramientos de la granodiorita de la Coruña

(x87²)



Foto 05-06-TC-HU-319

Venas de cuarzo plegadas por la F_2 en los esquistos de Ordovos (PC-CA)



Foto 05-06-TC-HU-320

Aspecto tipico de los afloramientos de los esquistos de Ordenes cerca de Mercurin en el NW de la Hoja. (PC-CA)



Foto 05-06-TC-HU-322
Captación de agua en los esquistos de Ordenes. (PECA)
Toda la calicata está en materiales totalmente alterados



Foto 05-06-TC-HU-323

Cantera "basurero de Ordenes" en que se pueden apreciar 3 esquistosidades

Esquistos de Ordenes (PC-CA)



Foto 05 06 TC-HU-324 y 325
Vista panoramica del pueblo de Ordenes y sus alrededores
Esquistos de Ordenes (PC-CA)
(El frente es al Este)





Foto 05 06 -TC-HU- 327 y 328
Vista panoramica del limite W de la Hoja.
En primer termino esquistos de Ordenes (PC-CA) al fondo granodiorita de la Coruña (x82²)



Foto 05-06-TC-H4-330

Captación de agua en Dos esquistos de Ordenes

(TC-CA)



Foto 05-06-TE-HU-45

Vista panorámica del aspecto general que presentan los afloramientos de los esquistos de Ordenes (PC-CA)



Foto 05 06-TC-HU- 484

Afloramientos en la cantera del SW de Paradela de la granodiorita muy deformada (D_x ó D_3?)

A la derecha del techo de la pala se puede ver una pequeña "intercalación" de esquistos de Ordenes (PC-CA)



Foto 05-06-TC-H4-512

Trozo de filón con mineralización de Sb procedente de la mina "Pandeiro"



Foto 05-06-TC-HU-523

Escombrera de la mina "Pandeiro" con trozos de esquistos, granodiorita deformada y filon con mineralizacion de Sb

(TC-CA) ($\frac{d}{x}$ 87°)



Foto 05 06-TC-HM- 528 y 529
Cantera abandonada de granodiorita muy deformada ($\overset{\circ}{\times}\gamma?^2$)



Foto 05-06-TC-HU-530
Diaclasa, en la cantera anterior, con pirita
($\frac{d}{x}$ γ ?)



Foto 05-06-TC-HU-531

Detalle de la diaclasa anterior con la pirita.



Fdo 05-06-TC-HU-532

Pirita de la diaclasa de la fotografías 530 y 531



Foto 05-06-TC-HU-537

Dique de cuarzo entre la granodiorita muy deformada. (q) ($^{d}_{x}$ 87)



Foto 0506.TC-H4-541

Limite W de la Hoja.

En primer termino esquistos de Ordenes (PC-CA)

Al fondo granodiorita de la Coruña (γ?) aquí muy deformada.





Foto 0506-TC-HU-542 y 543
Resalte que produce la granodiorita de la Coruña ($\times \delta P^2$)
En primer término, esquistos de Ordenes (PC-CA)



foto 05-06 - TC - H4-548

Vista panoramica. Esquistos de Ordenes (PC-CA)

El resalte central (en sombra) corresponde al

dique de cuarzo de Trasmonte (q)



Foto 05-06-TC-H4-549

Contacto granodiorita muy deformada ($^{d}_{x}\gamma P^{2}$)
con los esquistos de Ordenes (PC-CA)



Foto 05-06-TC-HU-550

Contacto intrusivo granodiorita muy deformada ($d_x \gamma P^2$) con los esquistos de Ordenes (PC-CA)



Foto 05-06-TC-HU-551

Restos de esquistos do Ordenes (PC-CA) dentro de la granodiorita muy deformada ($\gamma_x \gamma ?^2$)



Foto 05-06-TC-H4-552
Restos de esquistos de Ordenes (PC-CA) en la granodiorita deformada ($\frac{d}{x}$ y η^2)



Foto 05-06-TC-H4-553

Típico contacto intrusivo entre esquistos de Ordenes (PC-CA) y granodiorita deformada ($^{d}_{x}\gamma 2^{2}$)

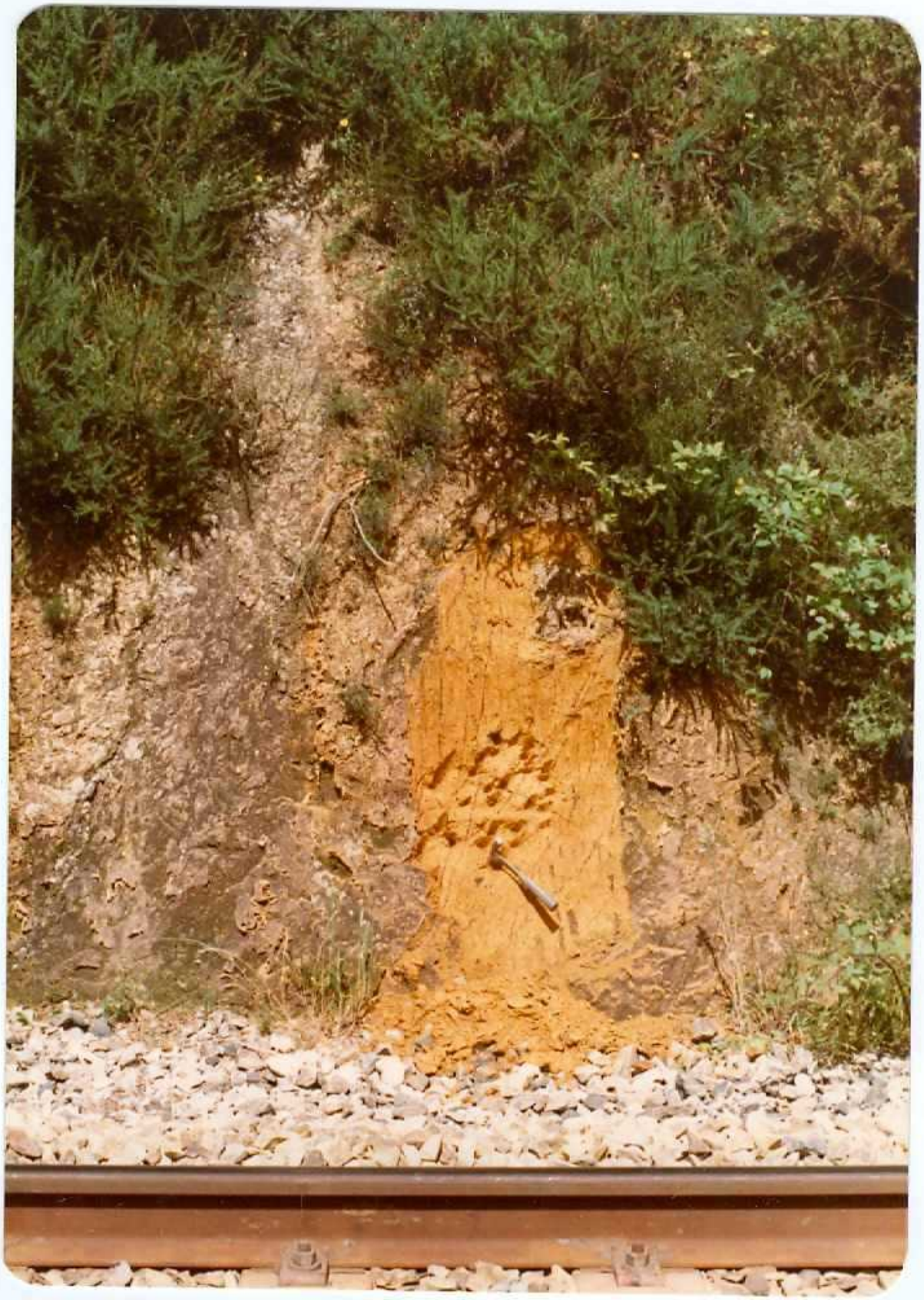


Foto 05-06-TC-HU-554

Gabros alterados ($^{b}_{c}O$)



Foto 05-06-TC-HLL-555

Gabros alterados ($^{b}_{c}O$)



Foto 0506 TC H4 556

Gabros alterados ($^{b}_{c}\theta$)



Foto 0506-TC-H4-557
Aspecto típico del contacto intrusivo entre la granodiorita deformada ($\gamma_{x}D^{d}_{2}$) y los esquistos de Ordenes (PECA)



Foto 05 06 TC-HU-558
Detalle de la foto anterior



Foto 05 OG-TC-H4-559

Detalle de la foto anterior, en que se puede apreciar muy bien el contacto intrusivo entre la granodiorita deformada y los esquistos de Ordenes.

$(^{d}_{x}\gamma p^{2})_{4}$ (PC-CA)



Foto 0506-TC-HU-560

Un buen afloramiento fresco con intrusión en los esquistos de Ordenes (PC-CA) de Da granodiorita deformada ($\frac{d}{x}$ 87?)



Foto TC HU 0506 - 561

Cerca del punto anterior (foto 560)

Filones de Q replegados dentro de

los esquistos de Ordenes (PC-CA)



Foto 05-06 - TC-HU-562

Buenos afloramientos de gabros y gabro-dioritas

($^{b}_{c}\theta$)



Foto 05-06-TC-HU-563

otro aspecto del mismo alloramiento ($^{b}_{c}$ O)



Foto 05-06-TC-HU-564

Detalle de un gabro fresco (b c)



Foto 05 06 TC-H4 - 565

Afloramientos de gabros y gabro-dioritas sin alterar ($^{b}_{c}$O)



Foto 0506 - TC-HU-566

Detalle del afloramiento anterior
Gabros y Gabrodioritas ($^{b}_{c}\Theta$)



Foto 0506-TC-HU-567

Pequeño resalte debido a un crestón de esquistos de Ordenes muy silíceos y con un dique de cuarzo muy próximo

(TC-CA)



Foto 0506 - TC - HU - 574

Gabros y Gabro dioritas de Gonselle de Abajo

($^{b}_{c}$ O)



Foto 05-06-TC-HH-575

Detalle de los gabros y gabro diaritas de la foto anterior en Consolle de Abajo (½ ⊖)

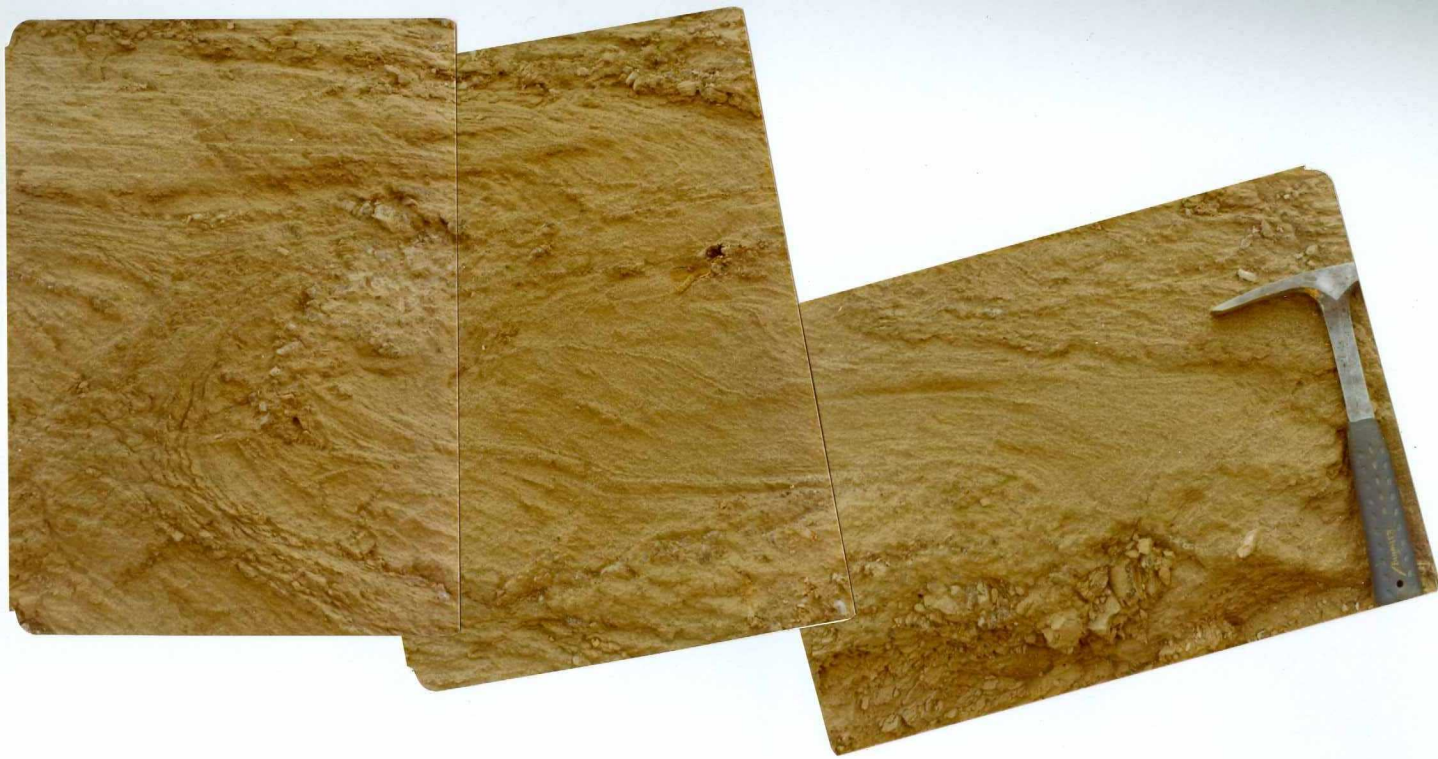


Foto 05-06 - TC-HU- 700, 701 y 702
Talud de la autopista del atlántico.
Pliegues en los esquistos de Ordenes (PC-CA). Al fondo, el Norte.



Foto 05 06-TC-HU-703
Vista general de la foto anterior.
Esquistos de Ordenes (PC-CA)



Foto 05-06-TC-HU-704
Otro aspecto del mismo talud de la autopista de las fotos anteriores
Esquistos de Ordenes (PC-CA)



Foto 05-06-TE-HU - 71 y 72
Cantera de Hesia en esquistos verdes ("g"), nivel diferenciable dentro de la serie de Ordenes (PC-CA)



Foto 05-06-TE-HU-73

Cantera de Mesia. Esquistos verdes ("f").

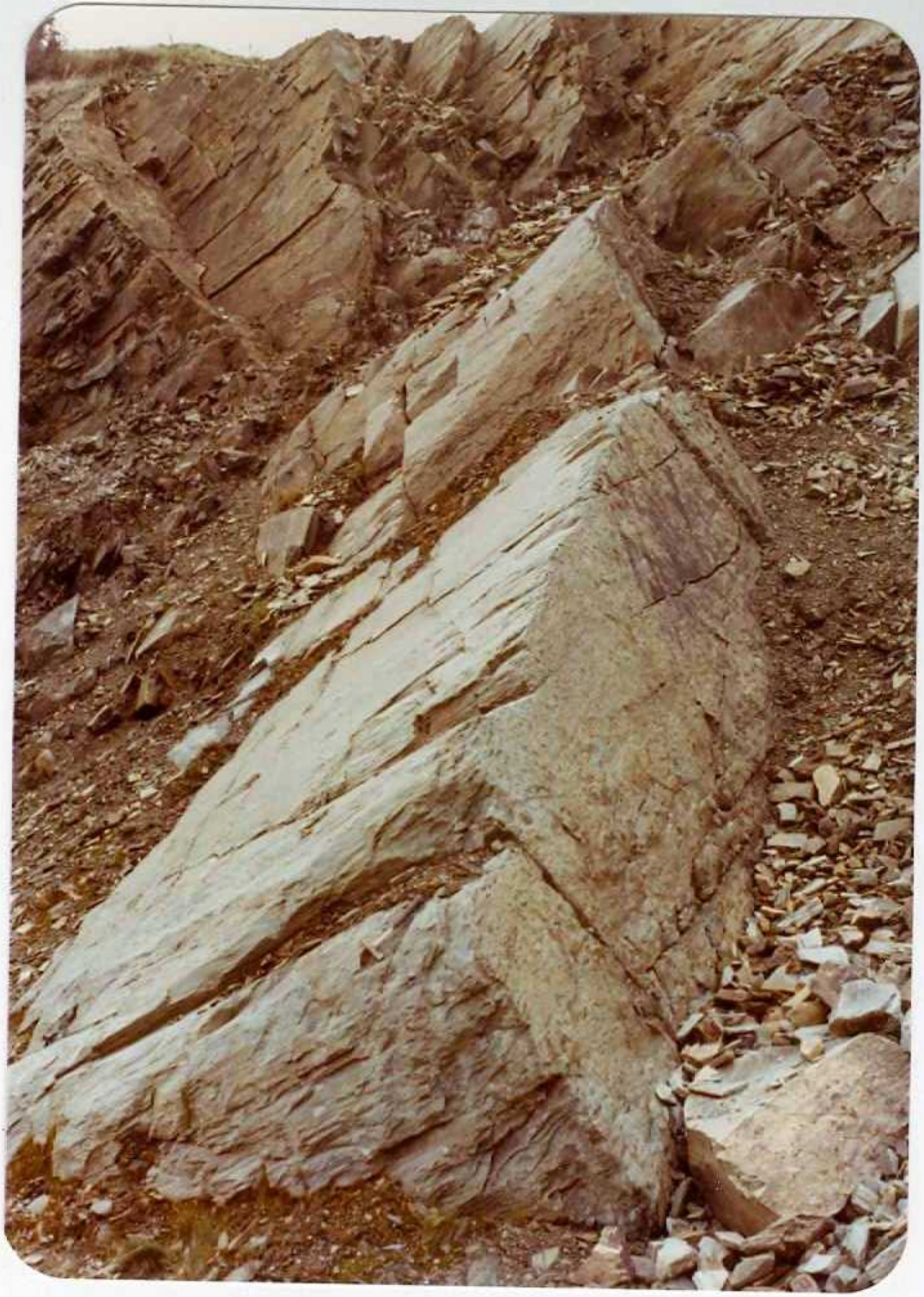


Foto 05-06-TE-HU-74
Plano de la S_1 probablemente paralela a S_0 en los esquistos de Ordenes en facies verde ("f")



Foto 05-06-TE-H4-76

Pequeños pliegues en los esquistos verdes ("f") cuyo plano axial corresponde a S_2